

УДК 519.175

©2012. А. А. Кадубовский

## ДВУХЦВЕТНЫЕ ХОРДОВЫЕ $N$ -ДИАГРАММЫ С ОДНИМ ЧЕРНЫМ ЦИКЛОМ

В статье рассматривается класс двухцветных хордовых  $N$ -диаграмм с  $n$  хордами, которые имеют только один цикл черного цвета. Установлены формулы для вычисления числа неэквивалентных таких диаграмм относительно действия циклической и диэдральной групп соответственно.

**Ключевые слова:** хордовая диаграмма, оснащенный цикл, действие диэдральной группы.

**Введение.** Одной из основных задач многих областей математики, в частности топологии, является задача о классификации исследуемых объектов, которая в свою очередь предполагает построение полных инвариантов. В большинстве случаев для решения последней эффективно используют некоторые графы с дополнительной информацией, в частности хордовые диаграммы.

Напомним, что хордовой диаграммой порядка  $n$  или, коротко,  $n$ -диаграммой называют конфигурацию на плоскости, которая состоит из окружности,  $2n$  точек на ней (являющихся вершинами правильного  $2n$ -угольника) и  $n$  хорд, соединяющих указанные точки. Две диаграммы называют изоморфными, если их можно совместить в результате поворота. Диаграммы называют эквивалентными, если их можно совместить с помощью поворота, осевой симметрии или же их композиции.

Вопросами перечисления хордовых диаграмм определенного вида занимался целый ряд известных математиков, в частности авторы работ [1-5]. Задачи о подсчете числа неизоморфных и неэквивалентных  $n$ -диаграмм были полностью решены в работах [4], [5]. Подсчет числа неизоморфных (в частности двухцветных) диаграмм *фиксированного рода* является достаточно сложной и в общем случае *не решенной задачей*. Известными являются лишь результаты для планарных (рода 0), тороидальных (рода 1)  $n$ -диаграмм и  $2m$ -диаграмм максимального рода  $m$  [5].

Двухцветные хордовые  $O$ - и  $N$ -диаграммы были использованы в работе [6] для топологической классификации гладких функций определенного класса на замкнутых ориентируемых и соответственно неориентируемых поверхностях фиксированного рода. В [7] установлены формулы для подсчета числа неизоморфных (относительно действия циклической группы) и неэквивалентных (относительно действия диэдральной группы) двухцветных  $O$ - и  $N$ -диаграмм. В [8] установлены формулы для подсчета числа неизоморфных и неэквивалентных  $O$ -диаграмм, среди циклов которых только один черный цикл. В [9] подсчитано число неизоморфных  $O$ -диаграмм с одним черным и одним белым циклом. Число неизоморфных и неэквивалентных планарных  $O$ -диаграмм (рода 0) подсчитано в работе [10].

В данной работе установлены формулы для вычисления числа неизоморфных и неэквивалентных  $N$ -диаграмм с  $n$  хордами, среди циклов которых только один цикл черного цвета.

**1. Основные понятия и определения.**

**ОПРЕДЕЛЕНИЕ 1.1.** Рассмотрим окружность и  $2n$  точек на ней, которые являются вершинами правильного  $2n$ -угольника. Раскрасим ее дуги поочередно в два цвета (черный и белый) и занумеруем указанные вершины числами от 1 до  $2n$  по ходу часовой стрелки. Полученную конструкцию будем называть двухцветным  $2n$ -шаблоном – *рис. 1 а*).

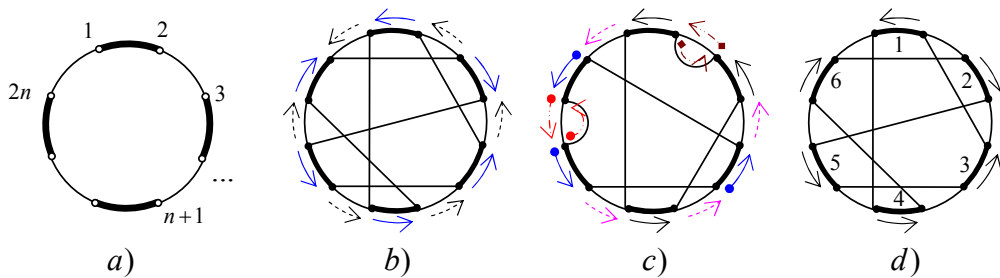
**ОПРЕДЕЛЕНИЕ 1.2.** Двухцветной хордовой диаграммой будем называть  $n$ -диаграмму, дуги окружности которой поочередно раскрашены в два цвета (черный и белый) – *рис. 1 б, с*).

В дальнейшем будем рассматривать только те двухцветные  $n$ -диаграммы, которые построены на основе двухцветного  $2n$ -шаблона (*рис. 1 а*).

**ОПРЕДЕЛЕНИЕ 1.3.** 2-цветную  $n$ -диаграмму, которая не содержит (содержит) хорд, соединяющих вершины с номерами одинаковой четности, будем называть  $O$ -диаграммой ( $N$ -диаграммой) – *рис. 1 с, б*).

Под *черным (белым) циклом* двухцветной  $n$ -диаграммы будем понимать чередующуюся последовательность черных (белых) дуг и хорд, в которой конец каждой черной дуги совпадает с началом единственной хорды, исходящей из нее, а второй конец каждой такой хорды определяет начало последующей черной дуги.

«Обход» (вычленение) некоторого черного цикла диаграммы можно совершать начиная с «четного» конца произвольной черной дуги. Назовем ее «стартовой». Двигаясь в направлении против хода часовой стрелки мы достигнем ее начала. Далее следует двигаться вдоль хорды, исходящей из этого начала, до второго ее конца на окружности диаграммы. С этого момента и в дальнейшем движение по окружности совершается исключительно вдоль черных дуг, вторые концы которых однозначно определяют последующие хорды цикла. И так до того момента, пока не будет достигнута «стартовая» дуга черного цикла.



*Рис. 1. а) двухцветный  $2n$ -шаблон; б)  $N$ -диаграмма с 1 черным и 1 белым циклом; с)  $O$ -диаграмма с 2 черными и 3 белыми циклами; д)  $N$ -диаграмма с 1 черным и 1 белым циклами*

Множество  $N$ -диаграмм, построенных на двухцветном  $2n$ -шаблоне, обозначим  $\mathfrak{S}_n^N$ ,  $N$ -диаграмм с 1 черным циклом –  $\mathfrak{S}_{n,1}^N$ , а  $N$ -диаграмм с 1 черным и 1 белым циклом –  $\mathfrak{S}_{n,1,1}^N$  (*рис. 1 д*).

Циклическую группу, порожденную элементом  $\xi = \sigma^2$ ,  $\sigma = (1, 2, 3, \dots, 2n)$  называют группой циклических перестановок порядка  $n$ , которую будем обозначать

$$C_n^* = \{\xi^i | i = 1, 2, \dots, n\}.$$

Пусть далее

$$\tau = \begin{pmatrix} 1 & 2 & \dots & 2n-1 & 2n \\ 2n & 2n-1 & \dots & 2 & 1 \end{pmatrix} = (1, 2n) \circ (2, 2n-1) \circ (3, 2n-2) \circ \dots \circ (n, n+1).$$

Тогда все симметрии двухцветного  $2n$ -шаблона исчерпываются:  $n$  поворотами  $\xi^i \in C_n^*$ ,  $i = 1, 2, \dots, n$  и  $n$  (осевыми) симметриями  $\tau_i = \tau \circ \xi^i$ . Группу симметрий (порядка  $2n$ ) двухцветного  $2n$ -шаблона обозначим  $D_{2n}^* = \{\xi^i, \tau_i | i = 1, \dots, n\}$ .

**ЗАМЕЧАНИЕ 1.1.** Известно (напр. [5], [6], [7]), что группы  $C_n^*$  и  $D_{2n}^*$  действуют на множестве хордовых диаграмм, в частности на множестве  $\mathfrak{S}_{n,1}^N$ , как сопряжение. А именно: пусть  $\alpha = \begin{pmatrix} 1 & k_1 & \dots & k_{2n-1} & k_{2n} \\ k_1 & 1 & \dots & k_{2n} & k_{2n-1} \end{pmatrix}$  — подстановка (инволюция) на множестве номеров  $n_j$  вершин (двухцветного)  $2n$ -шаблона, которая определяет хорды, а поэтому и саму  $n$ -диаграмму  $D = D(\alpha)$ . Тогда очевидно, что каждую диаграмму можно отождествить с соответствующей подстановкой. Более того, имеют место следующие **критерии изоморфности и эквивалентности двухцветных диаграмм**:

диаграмма  $D_1 = D(\alpha_1)$  изоморфна диаграмме  $D_2 = D(\alpha_2)$  тогда и только тогда, когда  $\exists i \in \{1, 2, \dots, n\} : \alpha_1 = \xi^{-i} \circ \alpha_2 \circ \xi^i$ ;

диаграмма  $D_1 = D(\alpha_1)$  эквивалентна диаграмме  $D_2 = D(\alpha_2)$  тогда и только тогда, когда  $\exists \gamma \in D_{2n}^* : \alpha_1 = \gamma^{-1} \circ \alpha_2 \circ \gamma$ .

**ЗАМЕЧАНИЕ 1.2.** Занумеруем черные дуги двухцветного  $2n$ -шаблона номерами от 1 до  $n$  по ходу часовой стрелки. Если обход черных дуг единственного черного цикла диаграммы (из класса  $\mathfrak{S}_{n,1}^N$ ) начинать с «первой» черной дуги шаблона в направлении против хода часовой стрелки (рис. 1 d), то каждой такой диаграмме однозначно можно поставить в соответствие цикл (длины  $n$ ), оснащенный знаками номеров черных дуг. Причем оснащение номера черной дуги знаком «минус» происходит в случае, когда направление обхода дуги меняется на противоположное в сравнении с направлением обхода предшествующей дуги цикла. Так диаграмме, изображенной на рис. 1 d, соответствует оснащенный цикл  $(1, 4, -6, 2, -5, 3)$ .

Более полную информацию можно найти, например в работах [6-8].

**2. Число неизоморфных диаграмм из класса  $\mathfrak{S}_{n,1}^N$ .**

**ПРИМЕР 1.** Очевидно, что не существует  $N$ -диаграмм с 1 хордой (класс  $\mathfrak{S}_{2,1}^N$  является пустым); класс  $\mathfrak{S}_{2,1}^N$  состоит из единственной диаграммы — рис. 2 a); а число неизоморфных диаграмм из класса  $\mathfrak{S}_{3,1}^N$  равно 2 — рис. 2 b).

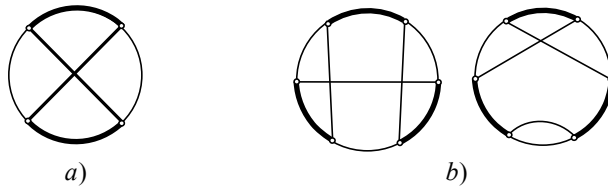


Рис. 2. a) единственная диаграмма из класса  $\mathfrak{S}_{2,1}^N$ ; b) неизоморфные диаграммы из класса  $\mathfrak{S}_{3,1}^N$ .

В дальнейшем число неизоморфных (относительно действия группы  $C_n^*$ ) диаграмм из класса  $\mathfrak{S}_{n,1}^N$  будем обозначать через  $d_{n,1}^{*(N)}$ . Тогда по лемме Бернсайда и с учетом результатов работ [5], [6], имеет место равенство

$$d_{n,1}^{*(N)} = \frac{1}{n} \left( |\mathfrak{S}_{n,1}^N| + \sum_{i|n, i \neq n} \varphi\left(\frac{n}{i}\right) \cdot \rho(n, i) \right), \quad (1)$$

где  $\rho(n, i)$  – число диаграмм из класса  $\mathfrak{S}_{n,1}^N$ , которые самосовмещаются при повороте (по часовой стрелке) на угол  $\omega_i = \frac{2\pi}{2n} \cdot 2i = \frac{2\pi}{n} \cdot i$ , то есть число элементов множества  $\mathfrak{S}_{n,1}^N$ , неподвижных относительно действия группового элемента  $\xi^i \in C_n^*$ ;  $\varphi(\cdot)$  – функция Эйлера; а суммирование ведется по всем делителям  $i$  числа  $n$  за исключением самого  $n$ .

**Предложение 2.1.** Для натуральных  $n \geq 2$  имеет место равенство

$$|\mathfrak{S}_{n,1}^N| = (n-1)! \cdot (2^{n-1} - 1). \quad (2)$$

*Доказательство.* С учетом замечания 1.2, каждую диаграмму из класса  $\mathfrak{S}_{n,1}^N$  можно отождествить с циклом вида

$$b = (1, b_{j_2}, b_{j_3}, \dots, b_{j_n}), \quad b_{j_i} \in \{\pm 2; \pm 3; \dots; \pm n\}, b_{j_i} = b_{j_k} \Leftrightarrow i = k. \quad (3)$$

Общее число циклов указанного вида равно  $(n-1)! \cdot 2^{n-1}$ . Однако среди них точно  $(n-1)!$  циклов, определяющих  $O$ -диаграммы с одним черным циклом [8]. Поэтому  $|\mathfrak{S}_{n,1}^N| = (n-1)! \cdot (2^{n-1} - 1)$ .  $\square$

**Лемма 2.1.** Для нечетных  $n \in \mathbb{N}$  имеют место формулы

$$d_{n,1}^{*(N)} = \frac{1}{n} \left( (n-1)! \cdot (2^{n-1} - 1) + \sum_{i|n, i \neq n} \varphi\left(\frac{n}{i}\right) \cdot \rho(n, i) \right), \quad (4)$$

$$\rho(n, i) = \varphi\left(\frac{n}{i}\right) \cdot \left(\frac{n}{i}\right)^{i-1} \cdot (i-1)! \cdot (2^{i-1} - 1). \quad (5)$$

*Доказательство.* Пусть  $n = 2m + 1$ . Для доказательства утверждения достаточно показать, что число диаграмм из класса  $\mathfrak{S}_{n,1}^N$ , которые самосовмещаются при повороте на угол  $\omega_i = \frac{2\pi}{n} \cdot i$ , можно вычислить по формуле (5).

**1)** Вначале выясним вопрос о том, какой вид имеют оснащенные циклы, определяющие двухцветные диаграммы с одним черным циклом, которые самосовмещаются при повороте на угол  $\omega_i$  – удовлетворяют условию (\*).

Пусть  $i = \frac{n}{k}$  – делитель числа  $n$ ,  $k \neq 1$ . Как было установлено ранее, каждую такую  $n$ -диаграмму можно отождествить с оснащенным циклом  $b = (1, l_2, l_3, \dots, l_n)$ , элементы которого – номера (с учетом знаков) черных дуг диаграммы, которые встречаются при обходе единственного черного цикла  $n$ -диаграммы  $D(b)$ .

Если упорядоченная пара  $\{1, l_2\} \in b$ , то циклу  $b$  должна принадлежать и пара  $\{1 + i, \text{sign}(l_2) \cdot (|l_2| + i)\}$ , аналогично  $\{1 + 2i, \text{sign}(l_2) \cdot (|l_2| + 2i)\} \in b, \dots, \{1 + i(k - 1), \text{sign}(l_2) \cdot (|l_2| + i(k - 1))\} \in b$ ;

если упорядоченная пара  $\{l_2, l_3\} \in b$ , то циклу  $b$  должна принадлежать и пара  $\{\text{sign}(l_2) \cdot (|l_2| + i), \text{sign}(l_3) \cdot (|l_3| + i)\}$ , аналогично  $\{\text{sign}(l_2) \cdot (|l_2| + 2i), \text{sign}(l_3) \cdot (|l_3| + 2i)\} \in b, \dots, \{\text{sign}(l_2) \cdot (|l_2| + i(k - 1)), \text{sign}(l_3) \cdot (|l_3| + i(k - 1))\} \in b$ .

Таким образом, множество (оснащенных) номеров черных дуг диаграммы, удовлетворяющей условию (\*), разбивается на  $k$  подмножеств – «черных блоков»  $[b_j]$ , в каждом из которых по  $i$  (оснащенных) номеров черных дуг:

$$[b_1] = \{1, l_2, l_3, \dots, l_i\},$$

$$[b_2] = \{1 + i, \text{sign}(l_2) \cdot (|l_2| + i), \text{sign}(l_3) \cdot (|l_3| + i), \dots, \text{sign}(l_i) \cdot (|l_i| + i)\}, \dots,$$

$$[b_k] = \{1 + i(k - 1), \dots, \text{sign}(l_i) \cdot (|l_i| + i(k - 1))\}.$$

**2)** Взаимное расположение указанных блоков однозначно определяется выбором блока  $[b_j]$ , который следует за  $[b_1]$ . Более того, обход блоков совершается с шагом  $h = j - 1$ . Поясним последнее: допустим, что  $b = ([b_1][b_2] \dots) = (1, l_2, l_3, \dots, l_i; 1 + i, \text{sign}(l_2) \cdot (|l_2| + i), \text{sign}(l_3) \cdot (|l_3| + i), \dots, \text{sign}(l_i) \cdot (|l_i| + i); \dots)$ .

Так как цикл  $b$  содержит упорядоченную пару  $\{l_i, 1 + i\}$ , то циклу  $b$  принадлежит и пара  $\{\text{sign}(l_2) \cdot (|l_i| + i), 1 + 2i\} \in b$ . Это означает, что после блока  $[b_2]$  следует блок  $[b_3]$  и т.д.. То есть цикл  $b$  имеет вид  $([b_1][b_2][b_3] \dots [b_k])$  и поэтому обход блоков совершается с шагом  $h = 1$ . Аналогично из допущения, что  $b$  имеет вид  $b = ([b_1][b_3] \dots)$ , нетрудно заключить, что обход его блоков совершается с шагом  $h = 2$ , то есть  $b = ([b_1][b_3][b_5] \dots)$ . И т.д..

Таким образом, имеем  $(k - 1)$  возможностей перегруппировать черные блоки. Однако диаграмма будет иметь один черный цикл только в том случае, когда обход черных блоков совершается с шагом  $h$ , взаимно простым с  $k = \frac{n}{i}$ . То есть существует точно  $\varphi(k) = \varphi\left(\frac{n}{i}\right)$  существенно различных типов таких диаграмм.

**3)** Зафиксируем допустимый шаг  $h$  (взаимно простой с  $k$ ), с которым совершается обход  $k$  черных блоков  $[b_1], [b_2], \dots, [b_k]$ . Очевидно, что оснащенную дугу  $b_{l_2}$  блока  $[b_1]$  можно выбрать  $(n - k) \times 2$  способами, так как  $k$  чисел  $1, 1 + i, \dots, 1 + i(k - 1)$  заняли первые «позиции» в блоках  $[b_1], [b_2], \dots, [b_k]$ ;

оснащенную дугу  $b_{l_3}$  можно выбрать  $(n - 2k) \times 2$  способами, так как после выбора черной дуги с (оснащенным) номером  $l_2$ , числа  $l_2, \text{sign}(l_2) \cdot (|l_2| + i), \dots, \text{sign}(l_2) \cdot (|l_2| + i(k - 1))$  заняли вторые «позиции» в соответствующих блоках, и т.д.

Итак, при каждом допустимом шаге  $h$  можно образовать точно

$$2(n - k) \cdot 2(n - 2k) \cdot 2(n - 3k) \cdot \dots \cdot 2(n - (i - 1)k) = \left(\frac{n}{i}\right)^{i-1} \cdot (i - 1)! \cdot 2^{i-1}$$

разных 2-цветных диаграмм с одним черным циклом, которые самосовмещаются при повороте на угол  $\omega_i$ . Однако среди них содержится точно  $\left(\frac{n}{i}\right)^{i-1} \cdot (i - 1)!$  диаграмм с одним черным циклом [8]. С учетом пунктов 2) и 3), существует точно  $\varphi\left(\frac{n}{i}\right) \cdot \left(\frac{n}{i}\right)^{i-1} \cdot (i - 1)! \cdot (2^{i-1} - 1)$  диаграмм из класса  $\mathfrak{S}_{n,1}^N$ , удовлетворяющих условию (\*).  $\square$

**Лемма 2.2.** Для четных  $n \in \mathbb{N}$  имеют место формулы

$$d_{n,1}^{*(N)} = \frac{1}{n} \left( (n-1)! \cdot (2^{n-1} - 1) + \mu \left( n, \frac{n}{2} \right) + \sum_{i|n, i \neq n} \varphi \left( \frac{n}{i} \right) \cdot \rho(n, i) \right), \quad \text{где} \quad (6)$$

$$\rho(n, i) = \varphi \left( \frac{n}{i} \right) \cdot (i-1)! \cdot (2^{i-1} - 1) \cdot \left( \frac{n}{i} \right)^{i-1}, \quad \mu \left( n, \frac{n}{2} \right) = \left( \frac{n}{2} \right)! \cdot 2^{n-2}. \quad (7)$$

*Доказательство.* Пусть  $n = 2m$ . Так как доказательство первой формулы (7) повторяет суждения, проведенные для случая нечетных  $n$ , то для доказательства достаточно показать необходимость включения величины  $\mu \left( n, \frac{n}{2} \right)$  в формулу (6).

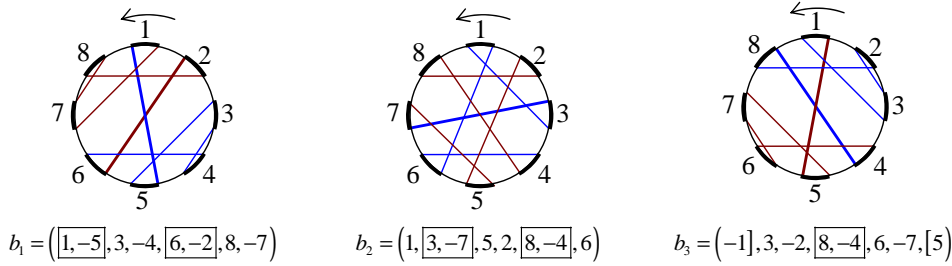


Рис. 3.

Величина  $\mu(2m, m)$  является числом диаграмм из класса  $\mathfrak{S}_{n,1}^N$ , которые самосовмещаются при повороте на угол  $\omega_{n/2} = \pi$  и которые не были учтены величиной  $\rho(2m, m)$ . Указанный тип диаграмм характеризуется наличием хорд, соединяющих диаметрально-противоположные вершины  $2n$ -шаблона – рис. 3.

Так как  $n = 2m$ , то каждая диаметрально-противоположная хорда  $2n$ -шаблона соединяет вершины с номерами одинаковой четности. Очевидно, что каждая такая хорда может быть задана парой оснащенных номеров диаметрально-противоположных (черных) дуг шаблона, а именно  $\{i, -(m+i)\}$  или  $\{-l, -(m+l)\}$ , соответственно. Далее каждую из  $n$  указанных таких хорд обозначим  $\{j_l, -|j'_l|\}$ . Тогда диаграмму  $D(b) \in \mathfrak{S}_{n,1}^N$ , которая содержит диаметрально-противоположную хорду шаблона (а именно две) и самосовмещается при повороте на угол  $\omega = \pi$ , можно отождествить с одним из  $m$  циклов вида:

$$\begin{aligned} & \left( \boxed{1, -(m+1)}, j_2, j_3, j_4, \dots, j_{m-1}, \boxed{j_m, -|j'_m|}, j'_{m-1}, \dots, j'_4, j'_3, j'_2 \right), \\ & \left( 1, \boxed{j_2, -|j'_2|}, \text{sign}(j_2) \cdot (m+1), j_3, j_4, \dots, \boxed{j_m, -|j'_m|}, \dots, j'_4, j'_3 \right), \\ & \left( 1, j_2, \boxed{j_3, -|j'_3|}, j'_2, \text{sign}(j_2) \cdot (m+1), j_4, \dots, \boxed{j_m, -|j'_m|}, \dots, j'_4 \right), \\ & \dots \\ & \left( -1, j_2, j_3, \dots, j_{m-1}, \boxed{j_m, -|j'_m|}, j'_{m-1}, \dots, j'_3, j'_2, [\text{sign}(j_2) \cdot (m+1)] \right), \end{aligned}$$

где  $j_k \in \{\pm 2; \pm 3; \dots; \pm m; \pm(m+2), \dots, \pm 2m\}$ ,  $|j'_k| = (|j_k| + m) \bmod n$  – номер (черной) дуги, диаметрально-противоположной дуге  $|j_k|$ , причем знаки  $j'_k$  определяются однозначно. Общее число таких циклов равно  $\mu \left( n, \frac{n}{2} \right) = \left( \frac{n}{2} \right)! \cdot 2^{n-2}$ .  $\square$

С учетом лемм 2.1 и 2.2 окончательно получаем

**Теорема 2.1.** Для натуральных  $n$  имеют место формулы:

$$d_{n,1}^{*(N)} = \frac{1}{n} \left( \mu \left( n, \frac{n}{2} \right) + \sum_{i|n} \varphi^2 \left( \frac{n}{i} \right) (i-1)! (2^{i-1} - 1) \left( \frac{n}{i} \right)^{i-1} \right), \quad (8)$$

$$\mu \left( n, \frac{n}{2} \right) = \begin{cases} 0, & \text{при нечетном } n \\ \left( \frac{n}{2} \right)! \cdot 2^{n-2}, & \text{при четном } n. \end{cases} \quad (9)$$

**3. Число неэквивалентных диаграмм из класса  $\mathfrak{S}_{n,1}^N$ .** В дальнейшем число неэквивалентных (относительно действия диэдральной группы  $D_{2n}^*$ ) диаграмм из класса  $\mathfrak{S}_{n,1}^N$  будем обозначать через  $d_{n,1}^{**(N)}$ . Тогда по лемме Бернсайда и с учетом, например, результатов работы [7] имеет место соотношение

$$d_{n,1}^{**(N)} = \frac{1}{2} \cdot \left( d_{n,1}^{*(N)} + \frac{1}{n} \cdot s(n) \right), \quad (10)$$

где  $s(n)$  – общее число симметричных диаграмм из класса  $\mathfrak{S}_{n,1}^N$ .

Так как число диаграмм, симметричных относительно каждой из осей симметрии ( $2n$ -шаблона) фиксированного типа одинаково, то:

$$s(n) = \begin{cases} n \cdot s_0(n), & \text{при нечетном } n \\ \frac{n}{2} \cdot (s_1(n) + s_2(n)), & \text{при четном } n, \end{cases} \quad (11)$$

где  $s_0(n)$  – число диаграмм (из класса  $\mathfrak{S}_{n,1}^N$ ), симметричных относительно фиксированной оси симметрии (*первого типа*), которая проходит через середины диаметрально-противоположных черной и белой дуг шаблона;  $s_1(n)$  – число диаграмм из класса  $\mathfrak{S}_{n,1}^N$ , симметричных относительно фиксированной оси симметрии (*второго типа*), которая проходит через середины диаметрально-противоположных черных дуг шаблона;  $s_2(n)$  – число диаграмм из класса  $\mathfrak{S}_{n,1}^N$ , симметричных относительно фиксированной оси симметрии (*третьего типа*), которая проходит через середины диаметрально-противоположных белых дуг шаблона.

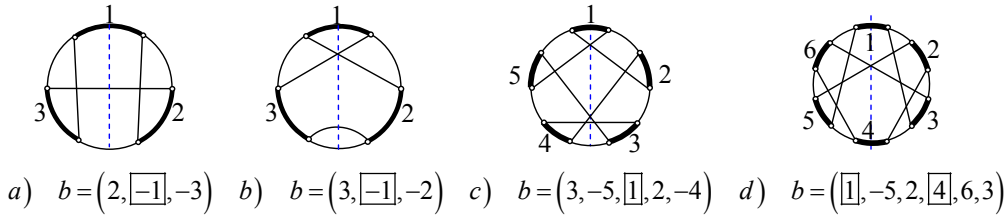


Рис. 4. a), b) – все диаграммы из класса  $\mathfrak{S}_{3,1}^N$ , симметричные относительно фиксированной оси симметрии первого типа:  $s_0(3) = 2$ .

**Лемма 3.1.** Для нечетных  $n \in \mathbb{N}$  имеют место формулы:

$$d_{n,1}^{**(N)} = \frac{1}{2} \left( d_{n,1}^{*(N)} + s_0(n) \right), \quad s_0(n) = \left( \frac{n-1}{2} \right)! \cdot 2^{\frac{n-1}{2}} \cdot \left( 2^{\frac{n-1}{2}} - 1 \right). \quad (12)$$



*Доказательство.* С учетом соотношений (10) и (11), для доказательства леммы достаточно показать справедливость второй формулы (12). Пусть  $n = 2m + 1$ . Каждую диаграмму  $D(b) \in \mathfrak{S}_{n,1}^N$ , которая симметрична относительно фиксированной оси симметрии *первого типа*, можно отождествить с циклом вида

$$\left( |j'_m|, \dots, j'_3, j'_2, \boxed{\text{sign}(j_2) \cdot \mathbf{1}}, j_2, j_3, \dots, j_m \right), \quad (13)$$

где  $j_k \in \{\pm 2; \pm 3; \dots; \pm 2m\}$ ,  $k = \overline{2, \dots, m}$ , а  $|j'_k| = n + 2 - |j_k|$  – номер (черной) дуги, симметричной дуге  $|j_k|$  относительно соответствующей оси симметрии *первого типа*. Причем  $\forall k \in \{2, \dots, m-1\}$  знак  $j'_k$  определяется однозначно, так как должен совпадать со знаком  $j_{k+1}$ , а «последние» дуги  $j_m$  и  $j'_m$  всегда соединены самосимметричной хордой (откуда и следует, что  $b \supset \{\dots, j_m, |j'_m|, \dots\}$ ). Знак, с которым номер «первой» дуги входит в цикл  $b$ , определяется знаком  $j_2$  – *рис. 4 а) – с*).

Общее число указанных циклов равно  $4^m \cdot m! = 2^{2m} \cdot m!$ . Однако среди них точно  $2^m \cdot m!$  циклов, определяющих  $O$ -диаграммы с одним черным циклом [8]. Поэтому  $s_0(n) = s_0(2m+1) = \left(\frac{n-1}{2}\right)! \cdot 2^{\frac{n-1}{2}} \cdot \left(2^{\frac{n-1}{2}} - 1\right)$ .  $\square$

Предложение 3.1. Для четных  $n \in \mathbb{N}$  справедливо равенство

$$s_1(n) = \left(\frac{n}{2} - 1\right)! \cdot 2^{\frac{n}{2}-1} \cdot \left(2^{\frac{n}{2}} - 1\right). \quad (14)$$

*Доказательство.* Пусть  $n = 2m$ . Тогда диаграмму  $D(b) \in \mathfrak{S}_{n,1}^N$ , симметричную относительно оси симметрии *второго типа* (проходящей через середины 1-ой и  $(m+1)$ -ой черных дуг шаблона), можно отождествить с циклом вида

$$\left( \boxed{\mathbf{1}}, j_2, j_3, \dots, j_m, \pm \boxed{m+1}, j'_m, \dots, j'_3, j'_2, \text{sign}(j_2) \cdot \mathbf{1} \right), \quad (15)$$

где  $j_k \in \{\pm 2; \dots; \pm m; \pm m+2; \dots; \pm 2m\}$ ,  $k = \overline{2, \dots, m}$ , а  $|j'_k| = n + 2 - |j_k|$  – номер (черной) дуги, симметричной дуге  $|j_k|$  относительно указанной выше оси симметрии *второго типа*, а знаки  $j'_k$  однозначно определяются знаками  $j_{k+1}$  – *рис. 4 д*).

Общее число таких циклов равно  $2^{2m-1} \cdot (m-1)!$ . Однако среди них точно  $2^{m-1} \cdot (m-1)!$  циклов, определяющих  $O$ -диаграммы с одним черным циклом [8]. Поэтому  $s_1(n) = s_1(2m) = \left(\frac{n}{2} - 1\right)! \cdot 2^{\frac{n}{2}-1} \cdot \left(2^{\frac{n}{2}} - 1\right)$ .  $\square$

Обозначим далее через  $s_{21}(n)$  ( $s_{22}(n)$ ) число диаграмм из класса  $\mathfrak{S}_{n,1}^N$ , которые симметричны относительно фиксированной оси симметрии *третьего типа* и содержат (не содержат) самосимметричные относительно этой оси симметрии хорды (*рис. 5* и *рис. 6*, соответственно). Тогда имеет место равенство

$$s_2(n) = s_{21}(n) + s_{22}(n). \quad (16)$$

Предложение 3.2. Для четных  $n$  имеют место формулы

$$s_{21}(n) = \left(\frac{n}{2}\right)! \cdot 2^{\frac{n}{2}-1} \cdot \left(2^{\frac{n}{2}-1} - 1\right), \quad s_{22}(n) = \left(\frac{n}{2} - 1\right)! \cdot 2^{n-2}. \quad (17)$$



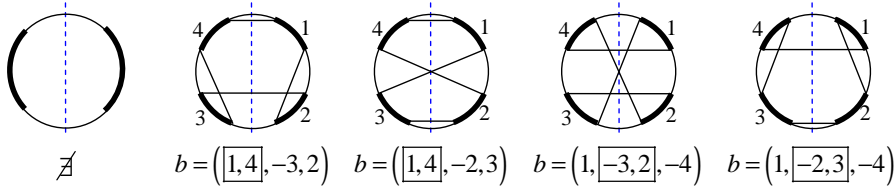


Рис. 5. все диаграммы из класса  $\mathfrak{S}_{4,1}^N$ , симметричные относительно фиксированной оси симметрии третьего типа и которые не имеют самосимметричных хорд:  $s_{21}(4) = 4$ ;  $s_{21}(2) = 0$

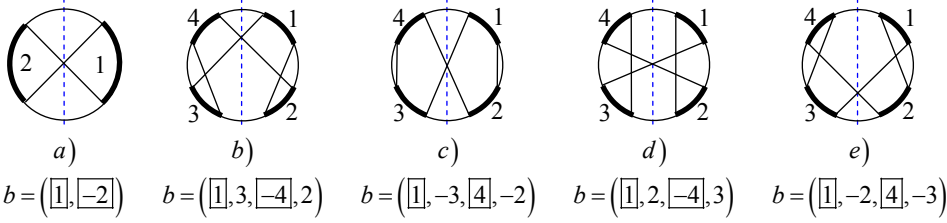


Рис. 6. а) – единственная диаграмма из класса  $\mathfrak{S}_{2,1}^N$ , которая симметрична относительно фиксированной оси симметрии третьего типа и не имеет самосимметричных хорд:  $s_{22}(2) = 1$ ; б) – е) – все диаграммы из класса  $\mathfrak{S}_{4,1}^N$ , которые симметричны относительно фиксированной оси симметрии третьего типа и не имеют самосимметричных хорд:  $s_{22}(4) = 4$

*Доказательство.* Покажем вначале справедливость первой формулы (17). Пусть  $n = 2m$ . Тогда диаграмму из класса  $\mathfrak{S}_{n,1}^N$ , которая симметрична относительно фиксированной (рис. 5) оси симметрии *третьего типа* и содержит самосимметричные хорды относительно этой оси, можно отождествить с одним из  $m$  циклов вида:

$$\begin{aligned} & \left( \boxed{1}, \boxed{2m}, j_2, j_3, \dots, j_{m-1}, \boxed{j_m, |j'_m|}, j'_{m-1}, \dots, j'_3, j'_2, \text{sign}(j_2) \cdot 1 \right), \\ & \left( \boxed{1}, \boxed{j_2, |j'_2|}, \text{sign}(j_2) \cdot \boxed{2m}, j_3, j_4, \dots, \boxed{j_m, |j'_m|}, \dots, j'_4, j'_3, \text{sign}(j_3) \cdot 1 \right), \\ & \dots \\ & \left( \boxed{1}, j_2, j_3, \dots, j_{m-1}, \boxed{j_m, |j'_m|}, j'_{m-1}, \dots, j'_3, j'_2, [\text{sign}(j_2) \cdot \boxed{2m}], +1 \right) \end{aligned} \quad (18)$$

где  $j_k \in \{\pm 1; \pm 2; \pm 3; \dots; \pm 2m\}$ ,  $k = \overline{2, \dots, m}$ ,  $|j'_k| = n + 1 - |j_k|$  – номер (черной) дуги, симметричной дуге  $|j_k|$  относительно указанной оси симметрии *третьего типа*, причем знаки  $j'_k$  определяются однозначно.

Общее число таких циклов равно  $2^{2m-2} \cdot m!$ . Однако среди них точно  $2^{m-1} \cdot m!$  циклов, определяющих  $O$ -диаграммы с одним черным циклом [8]. Поэтому  $s_{21}(n) = s_{21}(2m) = \left(\frac{n}{2}\right)! \cdot 2^{\frac{n}{2}-1} \cdot \left(2^{\frac{n}{2}-1} - 1\right)$ .

Теперь покажем справедливость второй формулы (17). Диаграмму из класса  $\mathfrak{S}_{n,1}^N$ , которая симметрична относительно фиксированной оси симметрии *третьего типа* и **не имеет** самосимметричных хорд шаблона (рис. 6), можно отождествить с циклом вида

$$\left( \boxed{1}, j_2, \dots, j_m, \text{sign}(-J) \cdot \boxed{2m}, j'_2, \dots, j'_m, \text{sign}(-J) \cdot 1 \right), \quad (19)$$

где  $j_k \in \{\pm 2; \pm 3; \dots; \pm 2m - 1\}$ ,  $k = \overline{2, \dots, m}$ ,  $J = \prod_{l=2}^m \text{sign}(j_l)$ ,  $|j'_k| = n + 1 - |j_k|$  – номер (черной) дуги, симметричной дуге  $|j_k|$  относительно фиксированной оси симметрии *третьего типа*, причем знаки  $j'_k$  определяются однозначно.

Общее число таких циклов составляет  $2^{2m-2} \cdot (m - 1)!$ . Методом от противного нетрудно показать, что среди циклов указанного вида нет таких, которые определяют  $O$ -диаграммы. Таким образом,  $s_{22}(n) = \left(\frac{n}{2} - 1\right)! \cdot 2^{n-2}$ .  $\square$

С учетом соотношений (14), (16) и (17), имеем

$$\frac{1}{2} (s_1(n) + s_2(n)) = \left(\frac{n}{2} - 1\right)! \cdot 2^{\frac{n}{2}-2} \cdot \left(2^{\frac{n}{2}} + \left(2^{\frac{n}{2}-1} - 1\right) \cdot \left(\frac{n}{2} + 1\right)\right). \quad (20)$$

С учетом соотношений (10), (11), леммы 3.1 и соотношения (20) окончательно получаем

**Теорема 3.1.** *Для натуральных  $n$  имеют место формулы*

$$d_{n,1}^{** (N)} = \begin{cases} \frac{1}{2} \left( d_{n,1}^{* (N)} + \left(\frac{n-1}{2}\right)! 2^{\frac{n-1}{2}} \left(2^{\frac{n-1}{2}} - 1\right) \right), & \text{при нечетном } n \\ \frac{1}{2} \left( d_{n,1}^{* (N)} + \left(\frac{n-2}{2}\right)! 2^{\frac{n}{2}-2} \left( \left(2^{\frac{n-2}{2}} - 1\right) \left(\frac{n}{2} + 3\right) + 2 \right) \right), & \text{при четном } n. \end{cases} \quad (21)$$

**Дополнения.** Ниже в таблице приведены начальные значения общего числа, числа неизоморфных, а также числа неэквивалентных диаграмм из класса  $\mathfrak{S}_{n,1}^N$

Таблица 1. Начальные значения величин  $d_{n,1}^N$ ,  $d_{n,1}^{* (N)}$ ,  $d_{n,1}^{** (N)}$ .

$n$	$d_{n,1}^N$	$d_{n,1}^{* (N)}$	$d_{n,1}^{** (N)}$
1	0	0	0
2	1	1	1
3	6	2	2
4	42	13	10
5	360	72	48
6	3 720	642	361
7	45 360	6 480	3 408
8	640 080	80 246	40 735
9	10 281 600	1 142 424	574 092
10	185 431 680	18 546 824	9 285 124
11	3 712 262 400	337 478 400	168 798 720
12	81 709 689 600	6 809 212 572	3 404 876 046

**Пример 2.** На *рис. 7* приведены все неизоморфные диаграммы из класса  $\mathfrak{S}_{4,1}^N$ . Не трудно видеть, что за исключением диаграмм 8 и 9, 10 и 11, 12 и 13 эти диаграммы являются также и неэквивалентными. Поэтому,  $d_{4,1}^{** (N)} = 13 - 6 + 3 = 10$ .

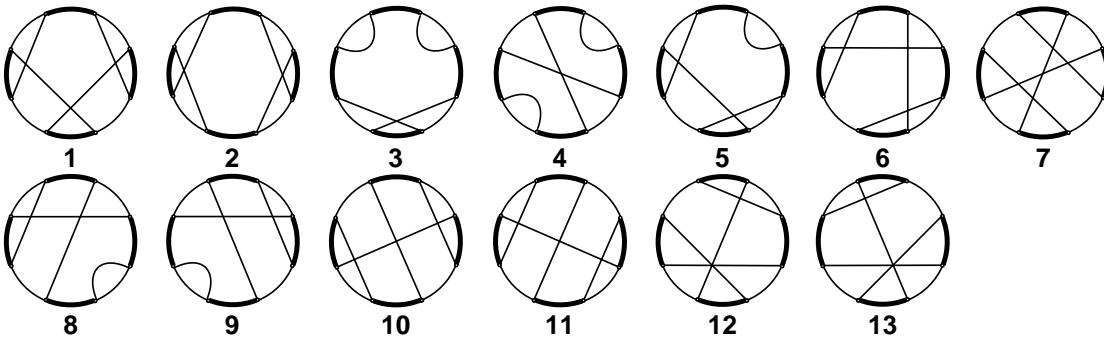


Рис. 7. все неизоморфные диаграммы из класса  $\mathfrak{S}_{4,1}^N$

ПРИМЕР 3. На рисунках 8 и 9 приведены все неизоморфные диаграммы из класса  $\mathfrak{S}_{5,1}^N$ .

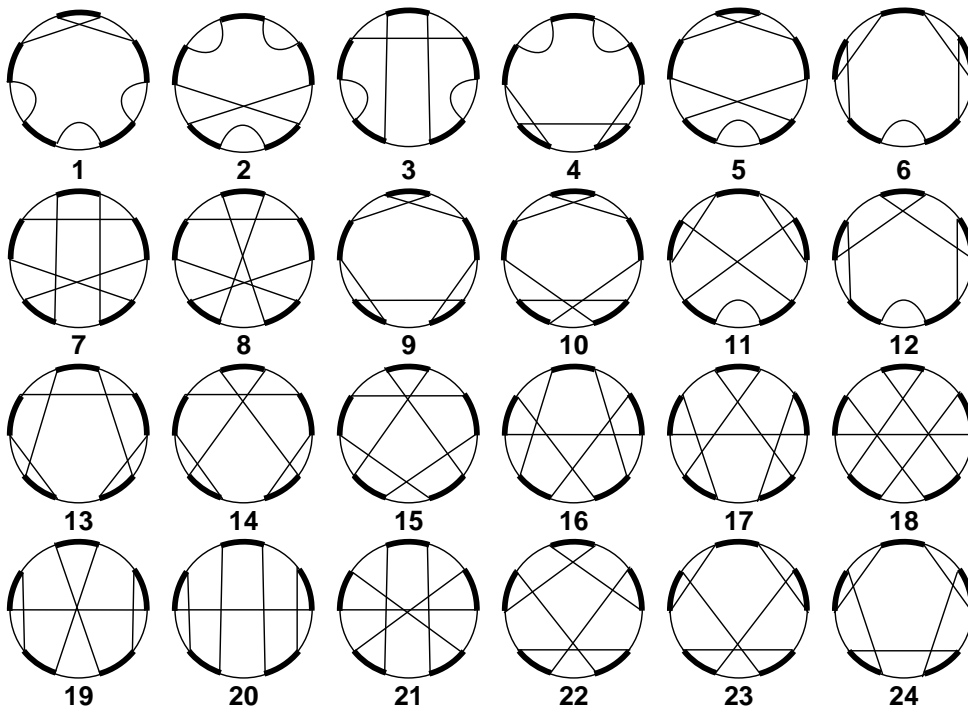


Рис. 8. все симметричные неизоморфные диаграммы из класса  $\mathfrak{S}_{5,1}^N$

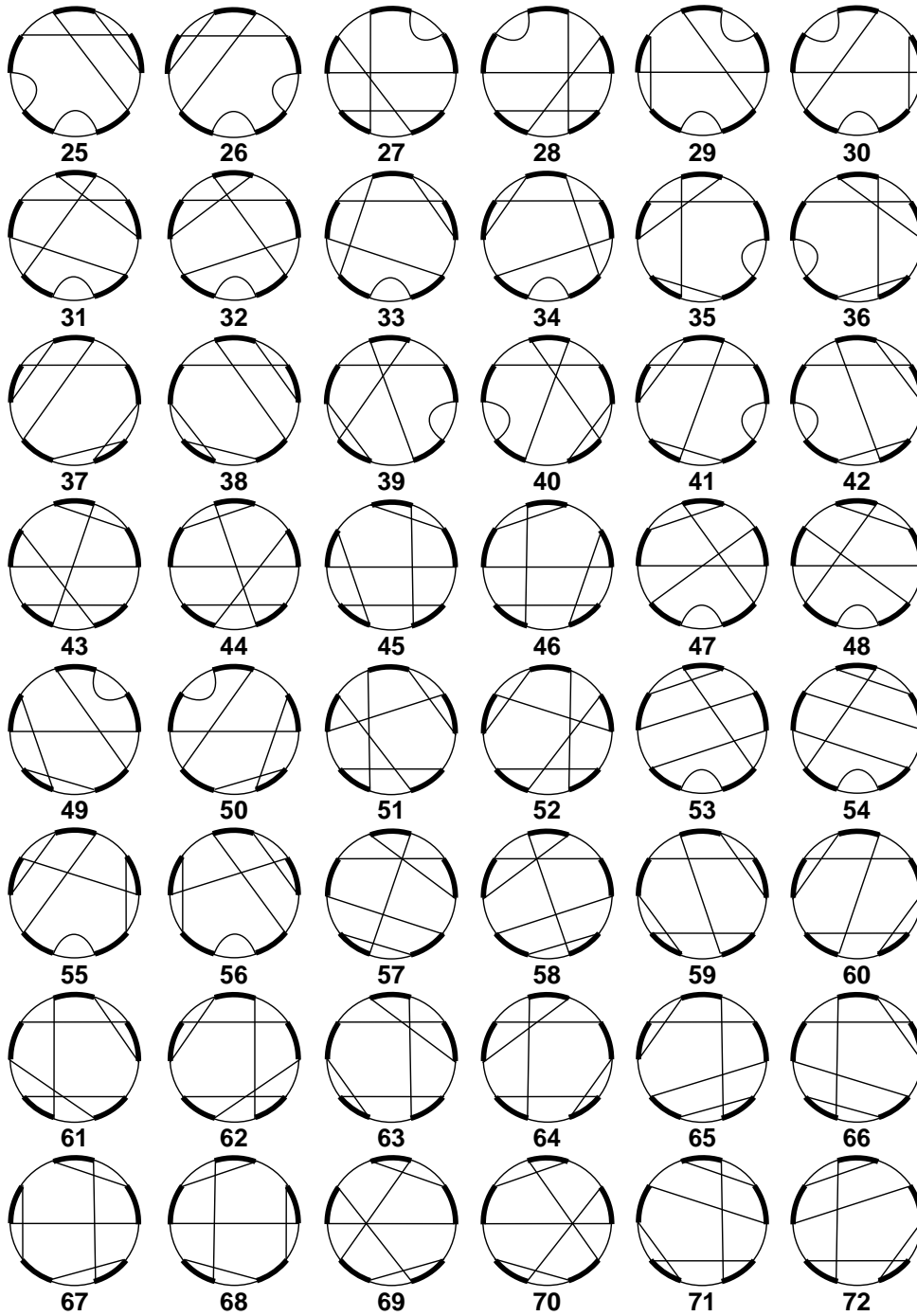


Рис. 9. все несимметричные неизоморфные диаграммы из класса  $\mathfrak{S}_{5,1}^N$

Для каждого  $i = 12, \dots, 35$  диаграммы с номерами  $(2i + 1)$  и  $(2i + 2)$  являются эквивалентными относительно действия диэдральной группы (рис. 9). Поэтому

$$d_{5,1}^{**(N)} = 72 - 48 + 24 = 48.$$

**Выводы.** Как было отмечено ранее, в общем случае задачи о подсчете числа неизоморфных и неэквивалентных двухцветных  $O$ - и  $N$ -диаграмм *фиксированного рода* являются *нерешенными*. Однако они имеют непосредственную связь с подсчетом числа топологически неэквивалентных гладких функций (векторных полей) определенного класса на замкнутых ориентируемых и неориентируемых поверхностях *соответствующего рода*. По мнению автора вполне достижимым является подсчет числа неизоморфных диаграмм из класса  $\mathfrak{S}_{n,1,1}^N$  для случая простых  $n$ .

1. Touchard J. Sur une problème de configurations et sur les fractions continues // Can. J. Math. – 1952. – №. 4. – P. 2-25.
2. Riordan J. The distribution of crossings of chords joining pairs of  $2n$  points on a circle // Mathematics of Computation. – 1975. – Vol. 29, № 129. – P. 215-222.
3. Harer J., Zagier D. The Euler characteristic of the moduli space of curves // Inventiones mathematical – 1986. – № 85. – P. 457-485.
4. Stoimenov A. Enumeration of chord diagrams and an upper bound for Vassiliev invariants // Journal of Knot and its Ramifications. – 1998. – Vol. 7, No. 1. – P. 93-114.
5. Cori R., Marcus M. Counting non-isomorphic chord diagrams // Theoretical Computer Science. – 1998. – Vol. 204. – P. 55-73.
6. Кадубовський О. Топологічна еквівалентність функцій на орієнтованих поверхнях // Український математичний жур. – 2006. – Т. 58, № 3. – С. 343-351.
7. Кадубовський О.А., Сторожилова О.В., Сторожилова Н.В. Двокольорові  $O$ - і  $N$ -діаграми // Пошуки і знахідки. Серія: фізико-матем. науки. – 2010. – Том IV, вип. 1. – С. 41-50.
8. Кадубовський О.А., Саприкіна Ю.С., Мазур С.Ю. Двокольорові  $O$ -діаграми з одним чорним циклом // Пошуки і знахідки. Серія: фізико-матем. науки. – 2010. – Том IV, вип. 1. – С. 51-60.
9. Кадубовський О. Про один клас хордових діаграм максимального роду // Вісник Київського університету Серія: фізико-матем. науки. – 2006. – Вип. 1. – С. 17-27.
10. Callan D., Smiley L. Non-crossing Partitions under Rotation and Reflection // Arxiv: math. – 2005. – 15 p. – Access mode: <http://arxiv.org/abs/math.CO/0510447>.

**A. A. Kadubovskiy**

**2-color chord  $N$ -diagrams with one black cycle.**

In this paper we consider the set of two-colored chord  $N$ -diagrams with  $n$  chords that have one cycle of black color. We calculate the number of non-equivalent such diagrams under rotation and refraction.

**Keywords:** chord diagrams, equipped faces, under rotation and refraction.

**О. А. Кадубовський**

**Двокольорові хордові  $N$ -діаграми з одним чорним циклом.**

У роботі розглядається клас двокольорових хордових  $N$ -діаграм з  $n$  хордами, які мають лише один цикл чорного кольору. Встановлено формули для підрахунку числа нееквівалентних таких діаграм відносно дії циклічної та дієдральної груп відповідно.

**Ключові слова:** хордова діаграма, оснащений цикл, дія циклічної та дієдральної груп.

Донбасский государственный педагогический ун-т, г. Славянск  
kadubovs@ukr.net

Получено 25.04.12